



مدلسازی عددی پتانسیل اقلیمی تهویه طبیعی با هدف کاهش مصرف انرژی و تعديل تغییرات آب و هوایی (مطالعه موردي: استان گیلان)

معصومه مقابل^{*}

استادیار آب و هواشناسی، دانشکده جغرافیا، دانشگاه تهران، ایران

تاریخ دریافت: ۱۴۰۱/۶/۲۲؛ تاریخ پذیرش: ۱۴۰۱/۷/۲۹

چکیده

امروزه، با توجه به تغییرات آب و هوایی، استفاده از روش‌های کاهش مصرف انرژی و انتشار گازهای گلخانه‌ای در بخش‌های مختلف از جمله ساختمان می‌تواند در مقابله با اثرات سوء ناشی از این پدیده موثر واقع گردد. شناسایی پتانسیل تهویه طبیعی و ایجاد شرایط آسایش در محیط داخلی مورد توجه بسیاری از محققان و طراحان ساختمان به ویژه در اقلیم‌های مرطوب است. از این‌رو، در مطالعه حاضر تلاش گردیده تا پتانسیل تهویه طبیعی در استان گیلان مورد تجزیه و تحلیل قرار گیرد. بدینمنظور، از داده‌های ساعتی شش ایستگاه هواشناسی شامل منجیل، آستارا، انزلی، لاهیجان، تالش، رشت استفاده شده است. این داده‌ها شامل جهت و سرعت باد، دما، نقطه شبنم، فشار سطح دریا، فشار سطح ایستگاه، رطوبت نسبی، حداقل دما، حداکثر دما، دمای تر، فشار بخار، فشار بخار اشباع می‌باشند. سپس پتانسیل اقلیمی تهویه طبیعی برای بازه زمانی ۱۷ ساله (۲۰۰۴-۲۰۲۱) با استفاده از مدل عددی CPNV محاسبه شد. نتایج نشان داد که ایستگاه منجیل و انزلی بهترین بیشترین و کمترین پتانسیل اقلیمی تهویه طبیعی را در میان ایستگاه‌های مورد مطالعه داشته‌اند. با بررسی موقعیت و عوامل جغرافیایی مشخص شد که دو عامل فاصله از دریا و ارتفاع ایستگاه می‌توانند عوامل موثری در این پتانسیل باشند. با این حال، عامل ارتفاع ایستگاه با میزان ضریب همبستگی ۰/۹۷ بیشترین تاثیر را در پتانسیل اقلیمی تهویه طبیعی ایستگاه‌های مورد مطالعه نشان داد. همچنین، با طراحی نقشه‌های حرارتی مشخص شد که ایستگاه منجیل بالاترین تعداد ساعت آسایش را نسبت به سایر ایستگاه‌ها دارد است به طوریکه به دلیل دورتر بودن از دریا، ارتفاع بیشتر نسبت به ایستگاه‌های مورد مطالعه، بادخیز بودن منطقه و شرایط متعادل تر آب و هوایی، از بیشترین پتانسیل تهویه طبیعی در طول سال در بین ایستگاه‌های استان گیلان برخوردار است.

واژه‌های کلیدی: پتانسیل تهویه طبیعی، روش CPNV، تغییر اقلیم، استان گیلان.

هوایی غیر قابل انکار است. از این‌رو، در سال‌های اخیر، کاهش مصرف انرژی و انتشار گازهای گلخانه‌ای در این بخش، توجه زیادی را به خود جلب کرده است (عباسی زاده و همکاران، ۱۴۰۰). در دهه‌های گذشته استفاده از سیستم‌های سرمایش و گرمایش در آب و هوایی مختلف برای تأمین آسایش حرارتی در مسکن و ساختمان‌ها باعث ایجاد بحران‌های زیست محیطی و نیز تغییرات آب و هوایی شد که ناشی از مصرف سوخت‌های فسیلی بوده است. این امر به این دلیل که جوامع شهری و همچنین شهرهای مدرن از سیستم‌های مصنوعی گرمایش و سرمایش استفاده

مقدمه

یکی از جدی ترین مسائل عصر حاضر تغییر اقلیم و تاثیر آن بر مصرف انرژی است (عسگری و جهانگیری، ۱۴۰۰). با توجه به چالش تغییرات آب و هوایی انتظار می‌رود که مصرف انرژی در دهه‌های آتی نیز همچنان رو به افزایش باشد. از آنجاییکه بخش ساختمان بیش از ۳۰٪ مصرف انرژی نهایی جهانی را به خود اختصاص داده است، سهم این بخش در تولید و انتشار گازهای گلخانه‌ای و در نهایت تغییرات آب و

صرفه جویی اقتصادی از طریق تاثیر بر میزان مصرف انرژی در بخش سرمایش و گرمایش ساختمانها، مطالعات متعددی در جهان و ایران به منظور ارزیابی تهווیه طبیعی صورت پذیرفته است. به عنوان مثال، لیپین^۱ و همکاران (۲۰۰۷) در پژوهشی با عنوان "استفاده از تهווیه طبیعی برای آسایش گرمایی در ساختمان‌های مسکونی در سنگاپور" نشان دادند که با استفاده از تهווیه طبیعی، به‌طور بالقوه می‌توان یک محیط داخلی مطلوب را برای ساعات زیادی در سال در ساختمان ایجاد کرد. تقدووسیو^۲ و همکاران (۲۰۱۴) با روش تجربی و شبیه سازی عددی، معماری مطلوب جهت طراحی اتاق به منظور فرآیند تهווیه طبیعی پیشنهاد کردند. اوراسا و همکاران (۲۰۱۴) در تحقیقی با عنوان تاثیر تغییرات آب و هوایی روی آسایش حرارتی در اقلیم مرطوب پیشنهاد کردند که مناطقی که در معرض خطر هستند برای جلوگیری از قرار گیری در اینگونه موقعیت‌ها و کاهش مصرف انرژی، باید نوع طراحی و مصالح ساختمانهای خود را تغییر دهند. کاردینال^۳ و همکاران (۲۰۱۶) در مطالعه‌ی خود به میزان آسایش حرارتی در کشور سنگاپور پرداختند و در این باره از نقشه برداری اقلیمی شهری و از مدل‌های پیش‌بینی دمای محیط و آسایش حرارتی در فضای باز استفاده کردند تا به ارزیابی دمای محیط در کشور سنگاپور پردازند. آنها یک برنامه مدل سازی سه بعدی برای استفاده معمماران، طراحان و مهندسان برای تجزیه و تحلیل طرح‌های شهری، طراحی کردند. رینالدی^۴ و همکارانش (۲۰۱۷) با شبیه سازی مجتمع‌های مسکونی واقع در مناطق مدیترانه‌ای به این نتیجه رسیدند که استراتژی تهווیه طبیعی کنترل شده، آسایش حرارتی را با کاهش قابل توجهی از ساعات آزاردهنده و همچنین تقاضای انرژی برای خنک کردن را به همراه دارد. چن^۵ و همکاران (۲۰۱۷) در مقاله‌ای با عنوان بررسی

می‌کنند، تمایلی مجدد برای کاربرد تهویه طبیعی را ایجاد کرده است (وکیلی‌نژاد و همکاران، ۱۳۹۱). تهویه طبیعی به این معنی است که هوای تازه تامین و خنک سازی از طریق جابجایی هوای آزاد و محیط بیرونی باشد. همچنین تهویه طبیعی بر جنبه‌های بهداشت و سلامت جامعه تاثیر میگذارد مانند کنترل ویروس‌های هوابرد و همچنین کنترل عفونت‌هایی که در بخش‌های مختلف زندگی و به خصوص در بیمارستان‌ها وجود دارند و یکی از مقرون به صرفه‌ترین راهکارهای موجود در این زمینه است (سرمدی و همکاران، ۱۳۹۵). با توسعه زندگی شهری و بالا رفتن ارتفاع ساختمان‌ها، توجه به رویکرد معماری پایدار نه تنها کم نشده است بلکه مشخص شده است که تهویه طبیعی در ساختمان‌های بلند از اهمیتی بیشتر برخوردار است (طاهری و همکاران، ۱۳۹۵). اما علاوه بر راهبردهای معمارانه، آب و هوای نواحی مختلف به تنها از خصوصیات و پتانسیل‌های بارزی در جهت افزایش عملکرد ساختمان‌ها در ایجاد تهویه طبیعی برخوردارند. به عبارت دیگر، با بهره‌گری از پتانسیل‌های اقلیمی نواحی مختلف در کنار طرح‌های خلاق معمارانه می‌توان پتانسیل تهویه طبیعی در مسکن را افزایش داد و بدین ترتیب نیاز به استفاده از سوخت‌های فسیلی را به حداقل رساند. با توجه به این مطالب، تهویه‌ی هوا، علاوه بر اینکه باعث ایجاد شرایط آسایش می‌شود، همچنین بر روی بهداشت کلی ساختمان و صرفه جویی بیشتر مصرف انرژی نیز می‌شود. تاثیرات تهویه طبیعی به دو صورت کلی مستقیم و غیر مستقیم، تقسیم می‌شود که در واقع تأثیر مستقیم مشمول تاثیری است که بر رطوبت موجود در ساختمان و دمای آن می‌گذارد. همچنین تأثیر غیر مستقیم شامل تأمین بالا بردن بهداشت و سلامت افرادی است که در ساختمان سکونت دارند که این تاثیر از طریق تعویض و مکش هوای آلوده و گرم درون ساختمان اتفاق می‌افتد (شاپیسته‌نژاد و همکاران، ۱۳۹۸). در این راستا و با توجه به اهمیت تهویه طبیعی هم از نقطه نظر تامین شرایط بهینه و مطلوب در فضای داخلی ساختمان‌ها و هم از نظر

1. Liping
2. Teodosiu
3. Kardinal
4. Rinaldia
5. Chen

معتدل و مرطوب توسط نرم افزار فلوئنت^۲ به این نتیجه رسیدند که برای بیشتر شدن جریان هوا و تهویه بیشتر بهتر است پنجره پشت به باد از پنجره رو به باد بزرگتر در نظر گرفته شود. در این راستا، در پنهانه جغرافیایی گیلان که ویژگی اقلیمی بارز آن بارشهای طولانی، معتدل بودن دما و رطوبت بالای هوا است، ساختمان باید علاوه بر تامین نیازهای اولیه در این منطقه بتواند آسایش حرارتی را برقرار کند و تاثیر رطوبت زیاد را معادل کند (خاکپور، ۱۳۸۶). برای مثال از آنجا که شهر رشت دارای رطوبت نسبتاً بالایی است، لذا کنترل باران برای جلوگیری از ورود به داخل و از طرفی ایجاد جریان هوا توسط انرژی باد به داخل کاری مشکل و قابل توجه است (محمدی و همکاران، ۱۳۸۹). به طوریکه شناسایی پتانسیل اقلیمی این منطقه و تعیین توانایی آن در تامین شرایط آسایش در فضاهای داخلی مساکن این اقلیم می تواند در زمینه مدیریت مصرف انرژی و تبعات ناشی از افزایش مصرف انرژی مانند آلودگی های زیست محیطی حائز اهمیت باشد. به عبارت دیگر، شناخت ویژگی های اقلیمی منطقه از منظر توانایی تهویه هوا در ماههای مختلف، فصول مختلف و ساعت مختلف شبانه روز به منظور برنامه ریزی و طراحی مساکن مطابق با این پتانسیل تهویه طبیعی امری ضروری به نظر مرسد که می تواند در بهره وری هرچه بیشتر انرژی و کاهش اثر نامطلوب ناشی از مصرف بی رویه آن مشمر ثمر واقع شود. بنابراین، هدف اصلی این پژوهش ارزیابی پتانسیل اقلیمی استان گیلان به منظور تهویه طبیعی است. در این راستا، اهداف فرعی زیر قابل طرح است:

- ۱- تعیین میزان اثر گذاری عوامل جغرافیایی بر پتانسیل تهویه طبیعی منطقه مورد مطالعه
- ۲- تعیین ماههای مناسب از نظر پتانسیل تهویه طبیعی در ایستگاههای مختلف منطقه مورد مطالعه
- ۳- تعیین پتانسیل تهویه طبیعی در منطقه مورد مطالعه در ساعت مختلف شبانه روز

2. Ansis fluent

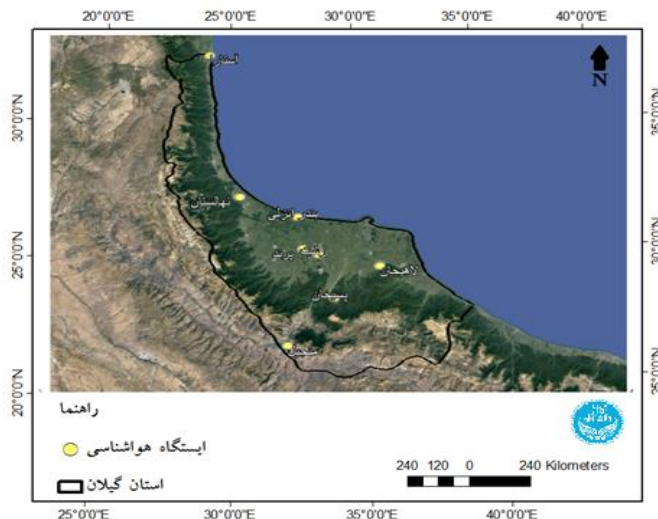
پتانسیل های تهویه طبیعی در سراسر جهان تغییرات منطقه ای و اقلیمی بیان کردند که پتانسیل استفاده از استراتژی های تهویه طبیعی بستگی زیادی به آب و هوای محلی دارد که از منطقه ای به منطقه دیگر در جهان بسیار متفاوت است. اسپنزو^۱ (۲۰۱۹) در مقاله ای با عنوان مدلسازی تهویه طبیعی برای راحتی گرما در تابستان در خانه های مدیرانه ای، راهکارهای تهویه طبیعی را به عنوان راهکارهای بازسازی انرژی کارآمد برای ساختمان های خانگی شناسایی کرده است. در این راستا از مطالعات صورت گرفته در ایران نیز می توان به مطالعه گرجی و همکاران (۱۳۹۰) اشاره کرد که در پژوهشی با نام ارزیابی معماری همساز با اقلیم در خانه های کاشان به دنبال بررسی چگونگی تاثیر شرایط آب و هوایی در ایجاد خانه های شهر کاشان بوده اند. حیدری (۱۳۹۱) در مقاله ای برهم کنش جریان هوا، دما و راحتی در فضاهای باز شهری مورد ارزیابی قرار داده و با بررسی اقلیم گرم و خشک ایران، نقطه مرزی جریان هوا را بیان کرد. سرمدی و همکاران (۱۳۹۵) به بررسی پتانسیل بخش های مختلف بیمارستانی در بیمارستان های تابعه دانشگاه علوم پزشکی تهران در سال ۱۳۹۳ پرداختند. نتایج حاصل از این مطالعه نشان می دهد با استفاده از تهویه طبیعی می توان به میزان بسیار زیادی هزینه های مرتبط با تأمین انرژی جهت تهویه در بخش های مختلف صرفه جویی نمود. قائدی (۱۳۹۷) در پژوهشی به ارزیابی کاربرد نیروی باد در تهویه طبیعی شهرهای استان فارس پرداخته است نتیجه نشان داده است جز در ایستگاه شیراز در سایر ایستگاهها بین سمت باد غالب و موقعیت ناهمواری های مرتفع همچومنی وجود ندارد. شیرین سو و همکاران (۱۳۹۷) به بررسی وضع جریان باد در قالب الگویی آزمایشی در جزیره هرمز پرداخته تا با بررسی جریان هوا در خارج و داخل ساختمان، راه حل هایی برای استفاده بهینه از جریان هوا ارائه نماید. حسین زاده و همکاران (۱۳۹۲) در پژوهشی در زمینه عناصر معماري مرتبط با تهویه طبیعی در اقلیم

1. Spenzou

(حوزه انتهای دره شاهروود) است و در واقع این استان که توسط البرز و تالش از بقیه سرزمین ایران جدا شده است و از شمال به دریای خزر و کشور آذربایجان، از شرق به استان مازندران و از سمت غرب به استان اردبیل و از جنوب به استان قزوین و زنجان محدود است (کرمی و همکاران، ۱۳۹۵). همانگونه که در شکل ۱ مشاهده می‌شود در استان گیلان، پراکندگی و موقعیت جغرافیایی ایستگاه‌های هواشناسی به صورت زیر است.

داده‌ها و روش شناسی پژوهش

منطقه مورد مطالعه: استان گیلان یکی از استان‌های شمالی کشور با مساحت ۱۴۷۱۱ کیلومتر مربع می‌باشد. این استان در ۳۶ درجه و ۳۳ دقیقه تا ۳۸ درجه و ۲۷ دقیقه عرض شمالی و ۴۸ درجه و ۳۲ دقیقه تا ۵۰ درجه و ۳۶ دقیقه طول شرقی از نصف‌النهار قرار گرفته است (سایت استانداری گیلان). استان گیلان شامل سرزمین پست و جلگه‌ای جنوب و جنوب غرب دریای خزر تا خط الرأس ارتفاعات تالش و بخشی از دامنه‌های شمالی و جنوبی البرز غربی



شکل ۱: نقشه پراکندگی ایستگاه‌های هواشناسی استان گیلان

به ایستگاه انزلی به میزان ۱۷/۱ درجه سلسیوس و ۸۲/۸۳ درصد است که این بالا بودن دما و زیاد بودن رطوبت نسبی را در این منطقه توجیه می‌کند که البته نزدیکی به دریا مهم ترین عامل تاثیر گذار در بالابودن رطوبت این منطقه است به طوری که منجیل در بین ایستگاه‌ها دارای پایین ترین رطوبت نسبی با ۶۲/۴۳ درصد است. همچنین ایستگاه آستانرا با ۱۵/۷۵ درجه سیلسیوس پایین ترین دما رادر بین ایستگاه‌ها دارد. به‌منظور تعیین دقیق نوع اقلیم ایستگاه‌های مورد مطالعه، از روش طبقه‌بندی دومارتین استفاده شد که در جدول ۲ نمایش داده شده است. همانطور که در این جدول مشخص شده است اکثر ایستگاه‌های مورد

داده‌های پژوهش

به‌منظور ارزیابی پتانسیل اقلیمی تهییه طبیعی در استان گیلان از داده‌های شش ایستگاه سینوپتیک شامل منجیل، آستانرا، بندرانزلی، لاهیجان، تالش و رشت استفاده شده است. این داده‌ها شامل جهت و سرعت باد، دما، نقطه شبنم، فشار سطح دریا، فشار سطح ایستگاه، رطوبت نسبی، حداقل دما، حداکثر دما، دمای تر، فشار بخار، فشار بخار اشباع می‌باشند که در دوره زمانی ۱۷ ساله (۲۰۰۴-۲۰۲۰) از سازمان هواشناسی کشور استخراج شدند. جدول ۱ ویژگی‌های ایستگاه‌های مطالعاتی را نمایش می‌دهد. با توجه به جدول ۱ بالاترین دما رطوبت در بین ایستگاه‌ها مربوط

برخودار است که دلیل آن موقعیت جغرافیایی این ایستگاه از جمله دوری از دریا که بر میزان رطوبت و بارش آن موثر است می‌باشد.

مطالعه بر اساس روش طبقه بندی اقلیمی دومارتن دارای آب و هوای بسیار مرطوب هستند. در بین ایستگاهها تنها ایستگاه منجیل اقلیم معتدلتری

جدول ۱: ایستگاه‌های مورد استفاده در پژوهش

نام ایستگاه	طول (°E)	عرض (°N)	ارتفاع (m)	میانگین دما (°C)	میانگین رطوبت (%)
بندرانزلی	۳۷/۴	۴۹/۴	-۲۲/۶	۱۷/۱۰	۸۲/۸۳
رشت	۳۷/۳	۴۹/۶	-۸/۹	۱۶/۵۲	۸۲/۵۱
لاهیجان	۳۷/۱	۵۰	۳۴/۲	۱۶/۹۶	۸۴/۷۹
منجیل	۳۶/۷	۴۹/۴	۳۳۸/۳	۱۷/۴۰	۶۲/۴۳
تالش	۳۷/۸	۴۸/۸	۷	۱۶/۷۱	۷۷/۹۲
آستانه	۳۸/۳	۴۸/۸	-۲۱/۱	۱۵/۷۵	۸۰/۱۷

جدول ۲: تعیین نوع اقلیم ایستگاه‌های مورد مطالعه با روش طبقه بندی اقلیمی دومارتن

نام ایستگاه	ضریب دومارتن	نوع اقلیم
بندرانزلی	۶۷/۵	بسیار مرطوب
رشت	۵۰/۳۷	بسیار مرطوب
لاهیجان	۵۱/۰۱	بسیار مرطوب
منجیل	۲۴/۸	نیمه مرطوب
تالش	۳۹/۶	بسیار مرطوب
آستانه	۵۲/۲	بسیار مرطوب

رابطه (۱) را می‌توان از این روش برای تعیین اقلیمی منطقه در نظر گرفته شود. این روش می‌تواند تعداد ساعتی که تهویه طبیعی در یک ساختمان به طور موثر اتفاق می‌افتد را اندازه گیری کند، هرچند با توجه به تغییر شرایط جوی در هر سال مقدار CPNV در هرسال می‌تواند تغییر کند، اما از دیدگاه اقلیمی و با توجه به تیپ اقلیمی غالب منطقه می‌توان پتانسیل آب و هوایی منطقه را به طور میانگین در ایجاد شرایط تهویه طبیعی با استفاده از این شاخص برآورد کرد (فابریزیو و سایرین ۲۰۱۲). در واقع از CPNV می‌توان برای مقایسه میزان تهویه طبیعی در اقلیم‌های مختلف استفاده کرد یا از آن

روش شناسی پژوهش

مدل عددی^۱ CPNV: با توجه به هدف پژوهش که تعیین پتانسیل تهویه طبیعی در اقلیم معتدل و مرطوب استان گیلان است در فاز اول پژوهش از مدل عددی پتانسیل اقلیمی تهویه طبیعی (CPNV) استفاده شده است. این مدل روشی را ارائه می‌دهد تا براساس آن قابلیت و توانایی آب و هوای در ایجاد تهویه طبیعی تعیین شود. به عبارت دیگر، این مدل تحلیلی براساس آب و هواست نه براساس ساختمان و معماری آن. بنابراین برآورد این شاخص می‌تواند مقدمه‌ای بر هر تصمیم تکنولوژیکی و معمارانه باشد. پتانسل تهویه طبیعی عبارت است از تعداد ساعت‌هایی که در یک سال امکان تهویه طبیعی با توجه به شرایط آب و هوایی منطقه وجود دارد تقسیم بر کل ساعت‌های در سال. رابطه (۱) نحوه محاسبه این مدل عددی را نمایش می‌دهد:

1. Climatic Potential for Natural Ventilation

$$t_{comf} = 17.8 + 0.31 \times t_{db} \quad \text{رابطه (۳)}$$

که در آن t_{db} متوسط ماهانه دمای بیرونی است. همچنین حد پایین شرایط دمای داخلی ($t_{in,l}$) براساس این استاندارد از رابطه (۴) قابل دستیابی است:

$$\text{رابطه (۴)}$$

$$t_{in,l} = t_{comf} - 2.5 \quad (90\% \text{ satisfied})$$

$$t_{in,l} = t_{comf} - 3.5 \quad (80\% \text{ satisfied})$$

لازم به توضیح است اگر هدف از ایجاد تهویه طبیعی، خنک سازی محیط است می‌توان برای حد پایین دمایی از مقادیر پایین تری از دما استفاده کرد. به عنوان مثال، پاتوین و حقیقت (۲۰۰۰) حد پایین دمایی را معادل 12°C و کازون (۲۰۱۵) دمای 10°C را در نظر گرفته‌اند. به طور کلی این مقدار می‌تواند با توجه به تحریه و نوع آب و هوای منطقه تعیین شود. جدول (۲) حد دمایی پایین ($t_{in,l}$) استفاده شده در

پژوهش‌های مختلف را نمایش می‌دهد.

می‌توان به عنوان معیاری برای طراحان استفاده کرد تا چگونگی استفاده از پتانسیل تهویه طبیعی در یک آب و هوای و از اهداف غیر واقعی اجتناب شود.

تعیین شرایط مرزی برای مدل CPNV: به منظور برآورده این مدل، در ابتدا باید برای هر ماه یک شرایط اولیه یا مرزی از نظر دما و رطوبت داخلی که امکان تهویه طبیعی را میسر می‌سازد تعیین شود. بدین‌منظور، ابتدا محدوده آسایش در هر ماه از نظر دمایی و رطوبتی براساس مدل استاندارد ۵۵ ASHRAE Standard 55 تعیین می‌شود (۵). این استاندارد، دمای آسایش را تابعی از میانگین ماهانه دمای بیرونی می‌داند. بنابراین شرایط مرزی برای محاسبه مدل CPNV و تعیین حد بالا دمای مطلوب داخلی ($t_{in,u}$) جهت ایجاد تهویه طبیعی و براساس دمای آسایش (t_{comf}) استاندارد اشرایی از طریق روابط (۲ و ۳) قابل حصول است (برای ایجاد شرایط آسایش برای ۸۰ تا ۹۰٪ از افراد):

$$t_{in,u} = t_{comf} + 2.5 \quad (90\% \text{ satisfied})$$

$$t_{in,u} = t_{comf} + 3.5 \quad (80\% \text{ satisfied})$$

جدول ۳: حد دمایی پایین محیط داخل برای ایجاد تهویه طبیعی براساس مطالعات مختلف

$t_{in,l}$	Reference
$t_{in,l} = t_{comf} - 2.5$	Ashare 55, En15251
$t_{in,l} = t_{comf} - 3.5$	Givoni 1969;1998
18 to 20°C	Bourgeois, Potvin and Haghghat 2000
12°C	Emmerich, Polidoro, and Axley 2011
$t_{in,l} = t_{dew}$ (night-time ventilation)	

$$W_{in,u} = 0.621945 \frac{p_{ws} \cdot 0.7}{p - (p_{ws} \cdot 0.7)} \\ p_{ws} = f(t_{in,u})$$

$$W_{in,l} = 0.621945 \frac{p_{ws}^{0.3}}{p - (p_{ws}^{0.3})} \quad \text{رابطه (۶)}$$

$$p_{ws} = f(t_{in,l})$$

$$t_{in,l} \leq t_{out} \leq t_{in,u} \quad \text{رابطه (۷)}$$

$$W_{in,l} \leq W_{out} \leq W_{in,u} \quad \text{رابطه (۸)}$$

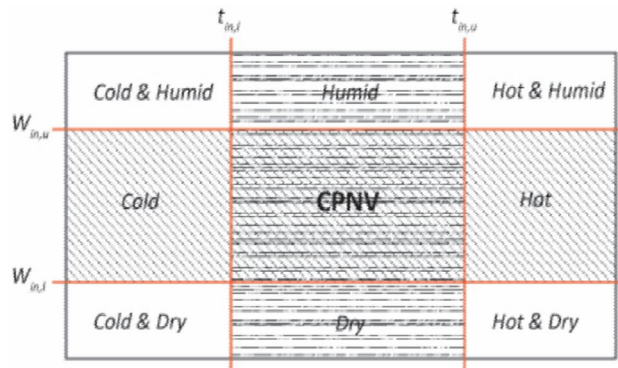
که در آنها $W_{in,u}$ حد بالای رطوبت داخلی، $W_{in,l}$ حد پایین رطوبت داخلی و p_{ws} فشار بخار اشباع

در ادامه، همانند پارامتر دما برای رطوبت نیز باید حد بالا و پایین رطوبتی تعیین شود. براساس مطالعات گیونی (۱۹۶۹) حد مطلوب بالا و پایین رطوبت برای ایجاد شرایط آسایش و امکان تهویه طبیعی را می‌توان به ترتیب معادل ۷۰ و ۳۰ درصد در نظر گرفت. با این وجود می‌توان این دو محدوده رطوبتی را نیز همچون دما از روابط (۵ و ۶) بدست آورد:

$$\text{رابطه (۵)}$$

هوایی و براساس اقلیم منطقه تعیین کرد. شکل (۲) به صورت شماتیک نمایانگر این موضوع است.

است. با تعیین محدوده‌های فوق براساس شرایط بیرونی و با استفاده از داده‌های ایستگاهی می‌توان پتانسیل تهویه طبیعی را در مناطق مختلف آب و

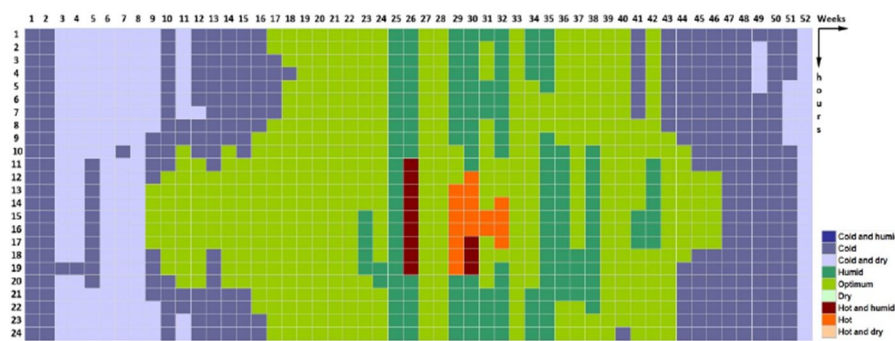


شکل ۲: محدوده پتانسیل اقلیمی تهویه طبیعی براساس حدود شرایط مرزی دمایی و رطوبتی منطقه (کاسون، ۲۰۱۵)

سرد، خیلی خشک، خیلی مرطوب یا هر ترکیبی از این شرایط است (شکل ۲). اینها معیارهای بیش از حدی (تجاوز) هستند (بورگسن و برگر، ۲۰۱۱)، که می‌توانند به صورت گرافیکی با استفاده از نقشه‌های حرارتی نشان داده شوند یا در جداول جمع شوند. در نهایت با محاسبه مدل CPNV نقشه پتانسیل تهویه طبیعی در طول سال برای هر یک از ایستگاه‌های مطالعاتی تهیه و ترسیم خواهد شد. شکل ۳ نمونه‌ای از این نقشه‌ها را که برای شهر میلان ایتالیا ترسیم شده است نمایش می‌دهد.

محاسبه CPNV: هنگامی که شرایط مرزی ثابت شد، ممکن است دو مجموعه محاسبه شود. مجموعه A با ساعاتی که دمای محیط (t_{out}) در محدوده تعیین شده باشد (رابطه ۷) جمع می‌شود. مجموعه B با ساعاتی طی می‌شود که نسبت رطوبت محیط (Wout) در محدوده تعیین شده باشد (معادله ۸). CPNV ممکن است به عنوان تقاطع مجموعه A و B محاسبه شود:

هشت مجموعه دیگر ممکن است محاسبه شود تا نشان دهنده تعداد ساعاتی باشد که نمی‌توان از تهویه طبیعی استفاده کرد، زیرا این حالت: خیلی گرم، خیلی



شکل ۳: نقشه پتانسیل اقلیمی تهویه طبیعی در شهر میلان ایتالیا در هفته‌های مختلف و در ساعات شبانه روز (مناطق سبز رنگ) (کاسون، ۲۰۱۵)

به ترتیب با درصد $19/4$ ، $19/3$ و $12/3$ می‌باشد و کمترین پتانسیل تهویه طبیعی به ترتیب مربوط به ساعت‌های 3 و 18 و 21 به ترتیب با درصد‌های $8/8$ ، $6/1$ و $5/4$ است. همچنین همانطور که مشاهده می‌شود ماه می با مقدار $19/7$ درصد بیشترین میزان پتانسیل تهویه طبیعی را در بین سایر ماه‌های سال نشان میدهد. بعداز آن ماه ژوئن با $19/5$ درصد قرار دارد. در مقابل ماه‌های دسامبر، ژانویه و فوریه با مقادیر $0/8$ ، $0/5$ و $0/4$ کمترین میزان پتانسیل تهویه طبیعی را نمایش می‌دهند.

یافته‌های پژوهش
فراآنی پتانسیل اقلیمی تهویه طبیعی در ایستگاه‌های مورد مطالعه
 ایستگاه آستان: همانطور که در جداول ۴ و ۵ دیده می‌شود، از میان کل دوره آماری 3714 مورد امکان تهویه طبیعی در این ایستگاه مشاهده شده است. بررسی توزیع ساعتی پتانسیل تهویه طبیعی منطقه مورد مطالعه نشان می‌دهد که $22,7$ درصد از پتانسیل تهویه طبیعی در ساعت 9 صبح رخ داده است بعد از آن بیشترین پتانسیل در ساعات 12 و 6 و 15 آغاز می‌شود.

جدول ۴: درصد فراآنی پتانسیل تهویه طبیعی در ایستگاه‌های استان گیلان (شبانه روزی)

ساعت ایستگاه	۰۰:۰۰	۰۳:۰۰	۰۶:۰۰	۱۲:۰۰	۱۵:۰۰	۱۸:۰۰	۲۱:۰۰
آستان	$6/1$	$8/8$	$19/3$	$22/7$	$19/4$	$12/3$	$5/7$
انزلی	$5/6$	$7/1$	$14/3$	$16/3$	$15/7$	$9/5$	$17/7$
رشت	$3/1$	$0/72$	$4/1$	$6/8$	$27/8$	$23/3$	$15/2$
لاهیجان	$1/1$	$3/6$	$18/6$	$31/3$	29	$13/9$	$0/97$
منجیل	$10/5$	$10/5$	$13/1$	$11/5$	$14/7$	$13/3$	$10/6$
تالش	$3/8$	$11/6$	$20/9$	$24/4$	$11/7$	$3/2$	$3/6$

جدول ۵: درصد فراآنی پتانسیل تهویه طبیعی در ایستگاه‌های استان گیلان (ماهانه)

ماه ایستگاه	ماه	فوريه	ژانویه	مارس	آوريل	مي	ژوئن	جولاي	آگوست	سبتمبر	اكتبر	نوامبر	ديسمبر
آستان	$0/57$	$0/48$	$1/6$	6	$19/7$	$19/5$	$12/8$	$11/5$	$14/6$	$9/8$	$2/07$	$0/89$	$2/07$
انزلی	$1/4$	$0/96$	$1/5$	$3/7$	$15/5$	$22/3$	$14/4$	$9/4$	$14/7$	$11/04$	$2/8$	$1/9$	$1/9$
رشت	$1/3$	$0/91$	$4/3$	$10/8$	$23/9$	$16/1$	$7/09$	$5/5$	$11/2$	$11/5$	$4/9$	$2/1$	$2/1$
لاهیجان	$3/2$	$1/7$	$5/6$	$12/04$	$21/9$	$13/05$	$5/1$	$4/3$	$9/6$	$12/7$	$7/01$	$3/2$	$3/2$
منجیل	$1/6$	$1/2$	$4/2$	$7/8$	$14/9$	$12/6$	10	$10/5$	$15/9$	13	$4/1$	2	$1/3$
تالش	$1/2$	$1/1$	3	$8/5$	$18/3$	$15/7$	$11/1$	$10/5$	$13/6$	$11/8$	$3/8$	$1/3$	$1/3$

درصد‌های $5/5$ و 7 است. همچنین، همانطور که مشاهده می‌شود ماه ژوئن با مقدار $22/3$ درصد بیشترین میزان پتانسیل تهویه طبیعی را در بین سایر ماه‌های سال نشان می‌دهد. بعد از آن ماه می و سپتامبر و جولای با مقادیر $15/5$ ، $15/5$ و $14/4$ درصد قرار دارد. در مقابل ماه‌های مارس، ژانویه و فوریه با مقادیر $1/5$ ، $1/3$ ، $1/3$ ، $0/9$ کمترین میزان پتانسیل تهویه طبیعی را نمایش می‌دهند (جدوال ۴ و ۵).

ایستگاه انزلی: از میان کل دوره آماری $250,8$ مورد امکان تهویه طبیعی در این ایستگاه مشاهده شده است. بررسی توزیع ساعتی پتانسیل تهویه طبیعی ایستگاه انزلی نشان می‌دهد که ساعت 21 با $17/7$ درصد از پتانسیل تهویه طبیعی دارای بیشترین پتانسیل و پس از آن ساعت 9 و 12 با $16/3$ و $15/6$ قرار می‌گیرند و همچنین کمترین پتانسیل تهویه طبیعی به ترتیب مربوط به ساعت 3 و $0::0$ با

طبیعی ایستگاه رشت نشان می‌دهد که به ترتیب ساعت‌های ۱۵، ۱۸ و ۱۲ با درصد‌های ۲۷/۸، ۲۳/۳ و ۱۸/۶ دارای بیشترین پتانسیل تهویه طبیعی هستند. همچنین کمترین پتانسیل تهویه‌ی طبیعی مربوط به ساعت‌های ۰ و ۳ با درصد‌های ۳/۱ و ۰/۷ است. همچنین، همانطور که مشاهده می‌شود ماه می با مقدار ۲۳/۸ درصد بیشترین میزان پتانسیل تهویه طبیعی را در بین سایر ماه‌های سال نشان میدهد. بعداز آن ماه ژوئن و اکتبر با مقادیر ۱۶/۱ و ۱۱/۵ درصد قرار دارد. در مقابل ماه‌های دسامبر و ژانویه و فوریه با مقادیر ۲/۱، ۱/۳ و ۰/۹ کمترین میزان پتانسیل تهویه طبیعی را نمایش می‌دهند (جداول ۴ و ۵).

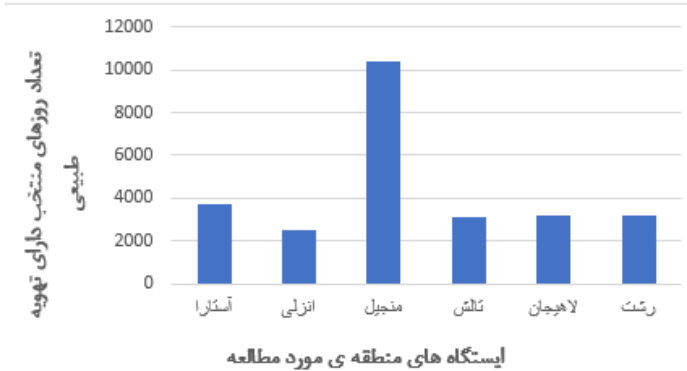
ایستگاه تالش: از میان کل دوره آماری ۳۱۵۴ مورد امکان تهویه‌ی طبیعی در این ایستگاه مشاهده شده است. بررسی توزیع ساعتی پتانسیل تهویه طبیعی ایستگاه تالش نشان می‌دهد که به ترتیب ساعت‌های ۶ و ۲۰ با درصد‌های ۲۰/۳ و ۲۰/۹ دارای بیشترین پتانسیل تهویه طبیعی هستند. همچنین کمترین پتانسیل تهویه طبیعی مربوط به ساعت‌های ۱۸ و ۲۱ با درصد‌های ۳/۶ و ۳/۲ است. در این ایستگاه، مشاهده می‌شود ماه می با مقدار ۱۸/۲ درصد بیشترین میزان پتانسیل تهویه طبیعی را در بین سایر ماه‌های سال نشان می‌دهد. بعداز آن ماه ژوئن و آوریل با مقادیر ۱۳ و ۱۲ درصد قرار دارد. در مقابل ماه‌های دسامبر و ژانویه و فوریه با مقادیر ۳/۲ و ۱/۷ کمترین میزان پتانسیل تهویه طبیعی را نمایش میدهند (جداول ۴ و ۵).

در مجموع، با توجه به نتایج به دست آمده از محاسبات، همانطور که در شکل ۴ مشاهده می‌شود، ایستگاه منجیل با ۱۰۴۰۷ مورد بیشترین پتانسیل تهویه طبیعی را داشته است. پس از منجیل، ایستگاه آستارا با ۳۷۱۴ و رشت با ۳۲۰۱ و لاهیجان با ۳۱۶۵ و تالش با ۳۱۵۴ مورد قرار می‌گیرند. در مقابل ایستگاه انزلی با ۲۵۰۸ مورد کمترین پتانسیل را برای تهویه طبیعی داشته است.

ایستگاه لاهیجان: از میان کل دوره آماری ۳۱۶۵ مورد امکان تهویه‌ی طبیعی در این ایستگاه مشاهده شده است. بررسی توزیع ساعتی پتانسیل تهویه طبیعی ایستگاه لاهیجان نشان می‌دهد که ساعت ۹ با ۳۱/۳ درصد دارای بیشترین پتانسیل تهویه طبیعی و پس از آن ساعت‌های ۱۲ و ۶ و ۱۵ با درصد ۲۹ و ۱۸/۶ و ۱۳/۹ قرار می‌گیرند و همچنین کمترین پتانسیل تهویه طبیعی مربوط به ساعت ۰ و ۱۸ با درصد‌های ۱/۱ و ۰/۹ است. علاوه براین، پتانسیل تهویه طبیعی در ایستگاه لاهیجان در ماه‌های مختلف را نشان می‌دهد که ماه می با مقدار ۲۱/۹ درصد بیشترین میزان پتانسیل تهویه طبیعی را در بین سایر ماه‌های سال نشان می‌دهد. بعداز آن ماه ژوئن و آوریل با مقادیر ۱۳ و ۱۲ درصد قرار دارد. در مقابل ماه‌های دسامبر و ژانویه و فوریه با مقادیر ۳/۲ و ۱/۷ کمترین میزان پتانسیل تهویه طبیعی را نمایش میدهند (جداول ۴ و ۵).

ایستگاه منجیل: از میان کل دوره آماری ۱۰۴۰۷ مورد امکان تهویه‌ی طبیعی در این ایستگاه مشاهده شده است. بررسی توزیع ساعتی پتانسیل تهویه طبیعی ایستگاه منجیل نشان میدهد که به ترتیب ساعت‌های ۱۵ و ۱۲ و ۶ با درصد‌های ۱۴/۷، ۱۴/۳ و ۱۳/۱ درصد بیشترین پتانسیل تهویه طبیعی هستند. همچنین کمترین پتانسیل تهویه طبیعی مربوط به ساعت‌های ۹ و ۲۱ و ۳ و ۰ با درصد‌های ۱۱/۵، ۱۱/۶ و ۱۰/۵ است. علاوه براین، ماه سپتامبر با مقدار ۱۵/۹ درصد بیشترین میزان پتانسیل تهویه طبیعی را در بین سایر ماه‌های سال نشان میدهد. بعداز آن ماه می و اکتبر و ژوئن با مقادیر ۱۴/۹، ۱۳ و ۱۲/۶ درصد قرار دارد. در مقابل ماه‌های فوریه و دسامبر و ژانویه با مقادیر ۲/۱، ۲ و ۱/۶ کمترین میزان پتانسیل تهویه طبیعی را نمایش میدهند (جداول ۴ و ۵).

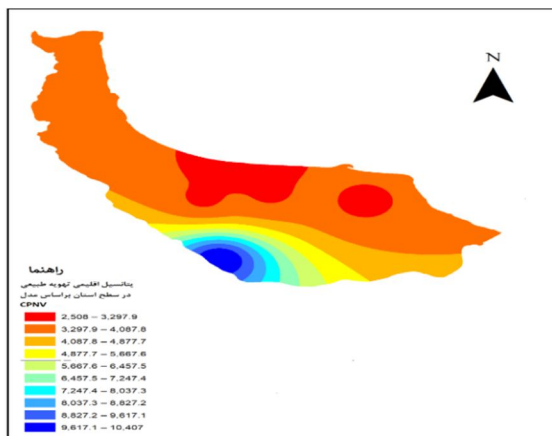
ایستگاه رشت: از میان کل دوره‌ی آماری ۳۲۰۱ مورد امکان تهویه‌ی طبیعی در این ایستگاه مشاهده شده است. بررسی توزیع ساعتی پتانسیل تهویه‌ی



شکل ۴: مقایسه پتانسیل اقلیمی تهویه طبیعی در ایستگاه‌های مطالعه

باد نیز عنصر مهمی است اما با توجه به اینکه وزش باد در تمامی ساعات شبانه روز وجود ندارد و در خیلی از مناطق ممکن است نسبت ساعات آرام بسیار بالا باشد، با استفاده از دو عنصر دما و رطوبت می‌توان پتانسیل تهویه طبیعی اقلیمی مختلف را براساس روش CPNV براورد کرد. همچنان که در استان گیلان مطالعه حاضر نشان داد که نزدیک شدن به ارتفاعات به دلیل تاثیر بر دمای هوا و دور شدن از دریا به عنوان عامل موثر بر میزان رطوبت نسبی دو عامل موثر در افزایش میزان پتانسیل اقلیمی تهویه طبیعی از شمال به جنوب استان است.

توزیع فضایی پتانسیل تهویه طبیعی در سطح استان براساس مدل CPNV: با توجه به نتیجه توزیع پتانسیل تهویه طبیعی که در شکل ۵ نمایش داده شده است، مشخص است که هرچه به سمت جنوب استان یعنی ایستگاه منجیل حرکت می‌کنیم که با رنگ آبی مشخص شده است، هم به دلیل فاصله از دریا هم به دلیل نزدیک شدن به کوه‌های البرز که باعث افزایش ارتفاع منطقه می‌شوند، از سمت شمال به سمت جنوب پتانسیل تهویه طبیعی در سطح استان افزایش پیدا می‌کند. به عبارت دیگر، دو عامل دما و رطوبت از جمله مهمترین عناصر آب و هوایی در ایجاد تهویه طبیعی محسوب می‌شوند. هرچند عنصر



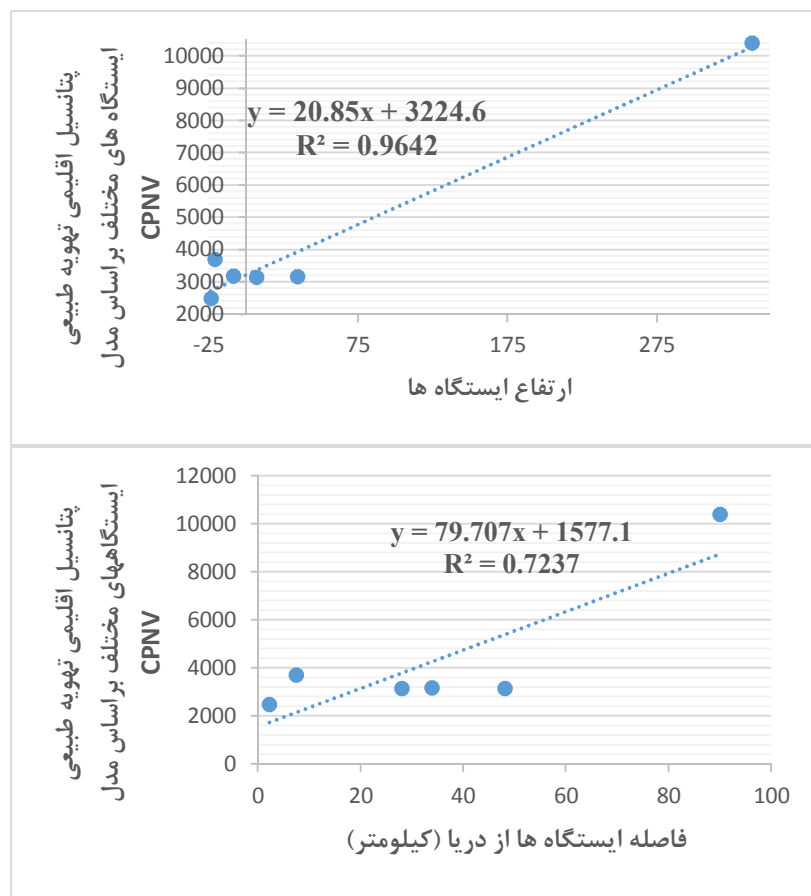
شکل ۵: توزیع فضایی پتانسیل تهویه طبیعی در سطح استان براساس مدل CPNV

ارتفاع با همبستگی ۹۷٪، ارتباط بیشتری را نسبت به عامل فاصله از دریا، نشان داده است که نتیجه این همبستگی بین ارتفاع و پتانسیل تهویه طبیعی نشان

همبستگی پتانسیل اقلیمی تهویه طبیعی ایستگاه‌های مختلف با عامل ارتفاع و فاصله از دریا: با توجه به نتایج بدست آمده در شکل ۶ عامل

مطالعاتی بیشتر بوده است پتانسیل تهویه طبیعی نیز به نسبت بالاتر بوده است.

میدهد عامل ارتفاع از تاثیرگذارترین عوامل بر پتانسیل تهویه طبیعی است. یعنی هرچقدر ارتفاع ایستگاه



شکل ۶: همبستگی پتانسیل اقلیمی تهویه طبیعی ایستگاه‌های مختلف با عامل ارتفاع (بالا) و فاصله از دریا (پایین) بر اساس مدل CPNV

از ماه ژانویه شروع می‌شوند. ستوان افقی مربوط به هفته‌ها و ستوان عمودی مربوط به ساعت است. همچنین طبق جدول ۶ بر اساس شرط‌های رطوبت و دما، شرایط آب و هوایی تقسیم بندی شده‌اند. به این صورت که برای مثال برای آب و هوای سرد و مرطوب شرط رطوبتی لازم این است که رطوبت در آن ساعت بیشتر از ۷۰ درصد باشد و همچنین دما کمتر از حد آسایش گرمایی باشد. همچنین برای مثال برای شرایط آسایش طبق جدول زیر، رطوبت باید بین ۳۰ تا ۷۰ درصد باشد و دمای منطقه باید بین کمترین و بیشترین حد دمایی بدست آمده باشد. این شروط بر اساس مدل اشرایی برای ایستگاه‌های مطالعاتی استخراج شده است.

عامل فاصله از دریا هم با همبستگی ۰/۸۴، با اینکه بر پتانسیل تهویه طبیعی تاثیرگذار است اما از عامل ارتفاع ضریب همبستگی پایین تری را دارد. در نتیجه عامل ارتفاع از عامل فاصله از دریا، موثرتر است.

نقشه‌های حرارتی¹: نقشه حرارتی بر اساس طبقه بندی شرایط آب و هوایی و مشخص کردن آن با رنگ‌های مختلف، پراکنده‌گی این طبقات را در هفته‌های متفاوت بر اساس داده‌های هواشناسی، نشان میدهد. برای بررسی ایستگاه‌های مورد مطالعه‌ی استان گیلان از داده‌های هواشناسی بر اساس سال میلادی استفاده شده است که داده‌ها از هفته‌ی اول

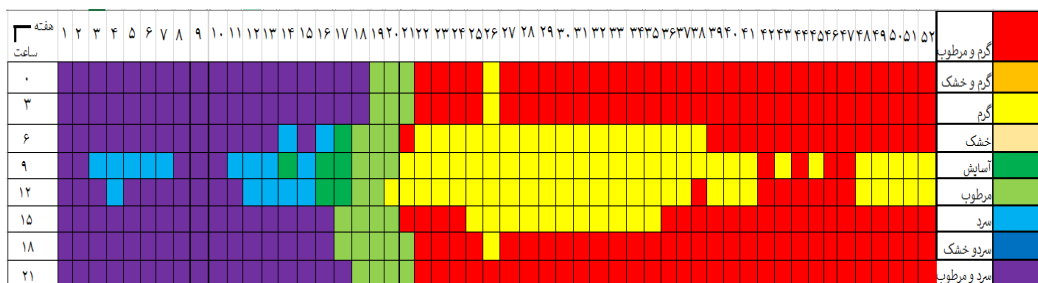
1. Heat Maps

جدول ۶: شرط دمایی و رطوبتی برای تقسیم بندی انواع آب و هوا

شرط رطوبتی	شرط دمایی	نوع آب و هوا
$U > 70$	$T < T_{comfort}$	سرد و مرطوب
$U < 30$	$T < T_{comfort}$	سرد و خشک
$30 < U < 70$	$T < T_{comfort}$	سرد
$30 < U < 70$	$T_{min} < T < T_{max}$	آسایش
$U > 70$	$T > T_{comfort}$	گرم و مرطوب
$U < 30$	$T > T_{comfort}$	گرم و خشک
$30 < U < 70$	$T > T_{comfort}$	گرم

عمدتاً در ساعتهای ۶ صبح تا ۱۵ بعداز ظهر اتفاق افتاده اند. طبقات سرد با رنگ آبی، بیشتر در ساعتهای ۹ و ۱۲ در هفته‌های اول این ایستگاه رخ داده است. همچنین مرطوب‌ترین هفته‌ها مریبوط به هفته هفدهم تا بیست و یکم می‌باشد که مقارن با ماه می و زوئن هست. همچنین طبقه آسایش در ساعت ۶ تا ۱۲ در هفته‌های چهارده، شانزده و هفده اتفاق افتاده است که مریبوط به ماه‌های آوریل و می می‌باشد.

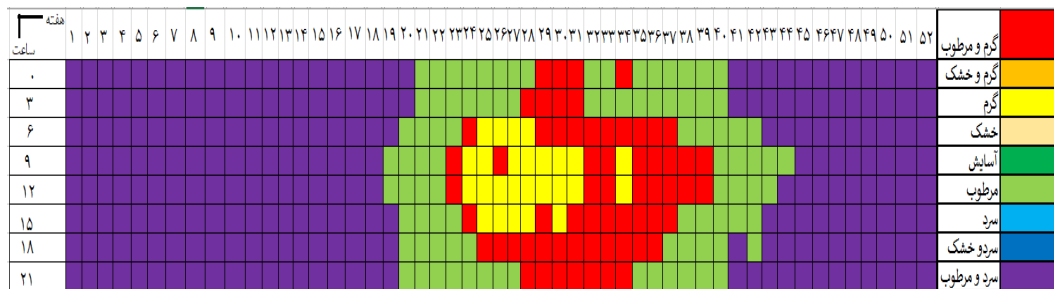
نقشه حرارتی آستارا: طبق شکل ۷ بررسی نقشه حرارتی ایستگاه آستارا نشان داد که این ایستگاه، طبقات گرم و خشک و سرد و خشک ندارد. در هفته‌های اول مقارن با ماه‌های ژانویه و فوریه و مارس، در همه ساعتها عمدتاً طبقه سرد و مرطوب اتفاق افتاده است. برخلاف هفته‌های پایانی سال که گرم و مرطوب هستند و با رنگ قرمز نشان داده شده‌اند. از هفته بیستم طبقات گرم با رنگ زرد اضافه شده که



شکل ۷: نقشه حرارتی ایستگاه آستارا در هفته‌ها و ساعات مختلف شبانه روز

طبقات مرطوب با رنگ سبز و سپس طبقات گرم در ساعت ۶ تا ۱۵ با رنگ زرد اضافه می‌شوند. در نهایت طبقه گرم و مرطوب با رنگ قرمز بیشترین پراکندگی را در هفته‌های سی و دو تا سی و شش را دارد. ایستگاه انزلی در بین ایستگاه‌های مورد مطالعه کمترین میزان آسایش و روزهای سرد را دارد.

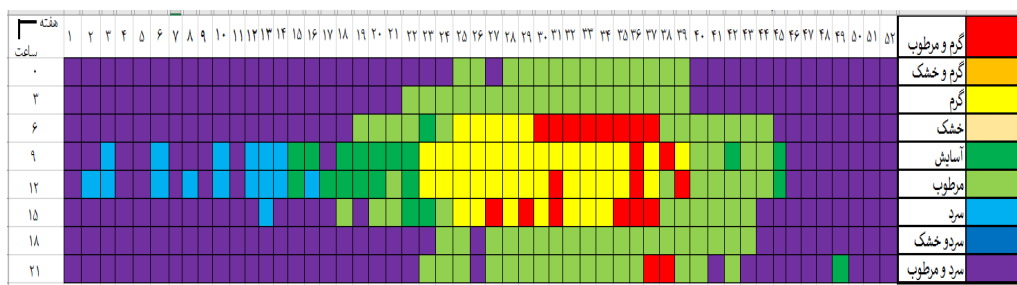
نقشه حرارتی انزلی: همانطور که شکل ۸ نشان داده شده است ایستگاه انزلی طبقات گرم و خشک و سرد و خشک ندارد. از هفته اول تا هفته هجدهم و حدوداً از هفته چهل و پنج تا هفته پنجماه و دو در همه ساعت، طبقه سرد و مرطوب غالب است. از هفته بیست و یکم تا هفته ی چهل مقارن با ماه‌های جون تا اکتبر ابتدا



شکل ۸: نقشه حرارتی ایستگاه انزلی در هفته‌ها و ساعات مختلف شبانه روز

و ۱۲ است که از هفته ۵ پانزدهم شروع می‌شود. بیشترین آسایش مقارن با ماه‌های آوریل و می است. طبقه گرم و مرطوب با رنگ قرمز و طبقه سرد با رنگ آبی دارای کمترین فراوانی هستند و همچنین طبقه مرطوب، بیشترین فراوانی خود را در ساعت ۰ و ۳ و ۱۸ و ۲۱، در هفته‌های میانی سال را دارد.

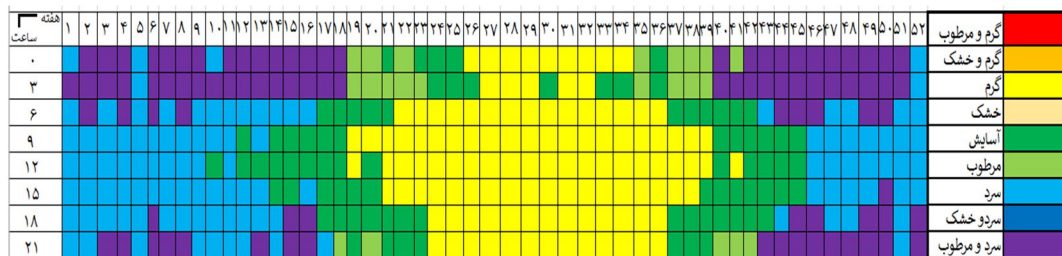
نقشه حرارتی لاهیجان: با توجه به شکل ۹ ایستگاه لاهیجان طبقات گرم و خشک و سرد و خشک ندارد. بیشترین فراوانی طبقه سرد و مرطوب که با رنگ بنفش مشخص شده‌اند، مربوط به هفته‌های اول تا هجدهم و هفته چهل و پنج تا پنجاه و دوم است که مقارن با زمانیه تا آوریل و نوامبر و دسامبر است. بیشترین فراوانی طبقه ۹ آسایش مربوط به ساعت ۹



شکل ۹: نقشه حرارتی ایستگاه لاهیجان در هفته‌ها و ساعات مختلف شبانه روز

در بین ایستگاه‌ها بیشترین فراوانی را در طبقه ۹ آسایش دارد، از هفته دهم در ساعت ۱۲ شروع می‌شود و در هفته‌های دوازده تا بیست و پنجم با پراکندگی ساعتی متفاوت ادامه پیدا می‌کند و همچنین در هفته‌های سی و هفت تا چهل و پنج نیز وجود دارد و بیشترین فراوانی آن برای ساعت‌های ۶ تا ۱۸ این هفته‌ها است. طبقات آسایش حدوداً مقارن با ماه‌های مارس و آوریل و می و همچنین سپتامبر و اکتبر است. همچنین منجیل در بین طبقات موجود کمترین فراوانی را در طبقه ۹ گرم و مرطوب دارد.

نقشه حرارتی منجیل: با توجه به شکل ۱۰ ایستگاه منجیل طبقات گرم و خشک، سرد و خشک و گرم و مرطوب ندارد. از هفته اول تا هفته هجدهم و از هفته چهل و دو تا هفته ۱۷ پنجاه و دوم عمدتاً ساعت ۰ و ۳ و ۱۸ و ۲۱ مربوط به طبقه سرد و مرطوب و ساعت ۶ تا ۱۸ در همین هفته‌ها عمدتاً مربوط به طبقه سرد است که با رنگ آبی مشخص شده است. هفته‌های میانی سال حدوداً مقارن با ماه‌های جان و جولای و آگوست جزو طبقه گرم بوده‌اند که با رنگ زرد نمایش داده شده است. ایستگاه منجیل که



شکل ۱۰: نقشه حرارتی ایستگاه منجیل در هفته‌ها و ساعت‌های مختلف شبانه روز

هفته‌های بیست و یکم تا چهل و یکم بیشترین فراوانی طبقه مرطوب مریبوط به ساعت ۰ تا ۹ صبح است. طبقات گرم و گرم و مرطوب به ترتیب با رنگ‌های زرد و قرمز مشخص شده اند که ساعتهای ۱۲ تا ۲۱ را در بر میگیرند. طبقات آسایش مریبوط به ساعت ۱۲ تا ۱۸ هفته‌های نوزده تا بیست و دو است که در واقع ماه اواخر ماه می‌شود، ماه جون را در بر می‌گیرد.

نقشه حرارتی رشت: همانطور که در شکل ۱۱ قابل مشاهده است، ایستگاه رشت طبقات گرم و خشک و سرد و خشک ندارد. بیشترین فراوانی طبقه سرد و مرطوب که با رنگ بنفش مشخص شده، عمدتاً مریبوط به هفته اول تا هفته هجدهم و هفته‌ی چهل و پنج تا هفته پنجم و دو است که در واقع ماههای ژانویه تا می و نوامبر و دسامبر را در بر می‌گیرد. در



شکل ۱۱: نقشه حرارتی ایستگاه رشت در هفته‌ها و ساعت‌های مختلف شبانه روز

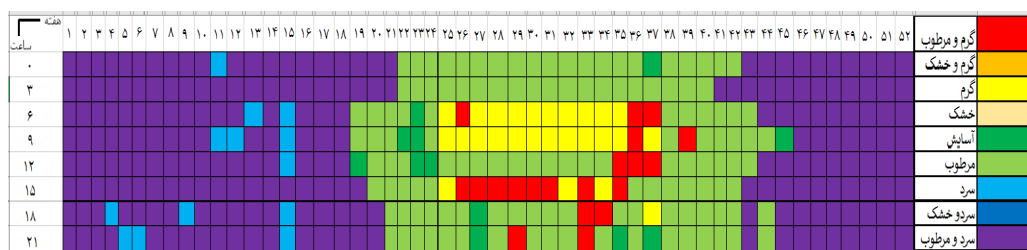
بعضی هفته‌ها در ساعت ۱۵ قابل مشاهده است. همچنین بیشترین فراوانی طبقه‌ی آسایش در این ایستگاه در ماههای می و جون در ساعت ۶ تا ۱۲ می‌باشد.

با توجه به نتایج بدست آمده از نقشه‌های احساس حرارتی برای ۶ ایستگاه مورد مطالعه، برای همه‌ی ایستگاه حدود ساعت دوزده شب تا شش صبح دارای اقلیم سرد و مرطوب بوده اند و با رنگ بنفش مشخص شدند. به دلیل مرطوب بودن منطقه، هیچ ساعتی از ایستگاه‌ها شامل اقلیم خشک یا گرم و خشک نشدنند. در ایستگاه آستارا در ساعت ۶ تا ۱۲ در ماههای فروردین تا اواسط خرداد شامل آسایش حرارتی شده اند و تقریباً از اوایل بهار تا اوخر پاییز شامل اقلیم گرم و مرطوب شده است. از نظر فراهم شدن آسایش در

نقشه حرارتی تالش: براساس نقشه حرارتی به دست آمده که در شکل ۱۲ نمایش داده شده است. در ایستگاه تالش طبقات گرم و خشک و سرد و خشک وجود ندارد. بیشترین رطوبت در هفته‌های بیست تا چهل و دو اتفاق افتاده است که با رنگ سبز مشخص شده است و مقارن با ماههای جون تا سپتامبر می‌باشد. طبقه سرد در ایستگاه تالش دارای فراوانی کمی است و با رنگ آبی مشخص شده است. حدوداً در بین هفته‌های اول تا هجدهم و هفته‌ی چهل و دو تا پایان سال، طبقه غالب در بیشتر ساعت‌ها، سرد و مرطوب است که مقارن با اول ژانویه تا اواسط می و از اواسط اکتبر تا آخر دسامبر است. طبقه گرم که با رنگ زرد مشخص شده است در بین هفته‌های بیست و پنج تا سی و هفت در ساعت ۶ و ۹ و در

بیشتر می شود و از اواخر شهریور تا اوایل آبان به جز ساعات اولیه صبح، شرایط آسایش دیده می شود. در ایستگاه رشت شرایط آسایش در ماههای اردیبهشت تا اواسط خرداد قرار گرفته است در ایستگاه رشت مانند ایستگاه تالش بیشتر ساعت روز در زمستان و اوایل بهار به رنگ بنفسش و با اقلیم سرد و مريطوب نشان داده شده است و همچنین نتایج نشان میدهد اقلیم تالش در تابستان بیشتر از ایستگاههای دیگر شامل اقلیم مريطوب می شود.

ایستگاه انزلی، اکثر ساعت روز در ماههای زمستان و اوایل بهار دارای اقلیم سرد و مريطوب است و در ماههای تابستانی این اقلیم مشاهده نمی شود و همچنین دارای شرایط آسایش هم نبوده است اما در ایستگاه لاهیجان بیشترین فراوانی طبقه‌ی آسایش مربوط به ساعت ۹ و ۱۲ در ماه‌های آوریل و می است که معادل با ماههای فروردین تا اواسط خرداد می شود. ایستگاه منجیل که دارای بیشترین پتانسیل تهویه‌ی طبیعی است از اواخر زمستان تا اول تابستان دارای شرایط آسایش است که در تابستان فراوانی هوای گرم



شکل ۱۲: نقشه حرارتی ایستگاه تالش در هفته‌ها و ساعت مختلف شبانه روز

طبیعی را در طول دوره مطالعاتی داشته است. این ایستگاه با ۳۳۸ متر ارتفاع نسبت به ایستگاههای دیگر مانند انزلی که ۲۳-۲۳ متر ارتفاع دارند دارای پتانسیل بسیار بالاتری برای وزش باد دارد. همچنین، نتایج نشان داده این ایستگاه علاوه بر بادخیز بودن، رطوبت نسبی متعادل تری هم نسبت به ایستگاههای دیگر دارد (به دلیل فاصله بیشتر از دریا). علاوه براین، ارتفاع بیشتر این ایستگاه منجر به دمای پایین تر در این ایستگاه نیز می‌شود. اما نتایج نشان داد پس از منجیل، ایستگاه آستارا با ۳۷۱۴ و رشت با ۳۲۰۱ و لاهیجان با ۳۱۶۵ و تالش با ۳۱۵۴ ساعت دارای پتانسیل اقلیمی تهویه طبیعی در طول دوره مطالعاتی بوده اند. در نتایج این مدل نشان داده شد که در مقابله ایستگاه منجیل، ایستگاه انزلی با ۲۵۰۸ ساعت کمترین پتانسیل اقلیمی را برای تهویه طبیعی داشته است که از دلایل مهم این نتیجه نزدیکی به دریا و رطوبت بسیار بالای این ایستگاه است به طوری که حتی بادهای محلی مانند نسیم دریا به خشکی نیز که در طول شباهه روز در این منطقه امکان وزش دارد

جمع‌بندی

از آنجایی که با تغییرات اب و هوایی و گرم شدن کره زمین در اثر تولید و انتشار گازهای گلخانه‌ای، نیاز به مصرف انرژی به منظور ایجاد شرایط آسایش حرارتی افزایش یافته و با تداوم روند تغییر اقلیم پیش بینی می شود این فرایند تداوم داشته باشد، بررسی و استفاده از توانهای محیطی به منظور ایجاد شرایط آسایش در ساختمان‌ها به عنوان یکی از بخش‌های اصلی مصرف کننده انرژی، می‌تواند در کاهش تقاضای انرژی و به تبع آن تعديل شرایط تغییر اقلیم کمک کننده باشد. ازین رو، در پژوهش حاضر تلاش شد تا با استفاده از شاخص پتانسیل تهویه طبیعی، شرایط اقلیمی استان گیلان که داری اقلیم مرطوب بوده و در اکثر ایام سال نیاز به استفاده از سیستم‌های مصنوعی برای ایجاد آسایش دارد، مورد ارزیابی قرار گیرد. نتایج پژوهش حاضر نشان داد که بین موقعیت جغرافیایی و پتانسیل تهویه طبیعی ارتباط مستقیمی وجود دارد. براین اساس مشخص شد که ایستگاه منجیل به طور ساعتی با ۱۰۴۰۷ ساعت بیشترین پتانسیل تهویه

و از اواخر شهریور تا اوایل آبان به جز ساعت‌های اولیه صبح، شرایط آسایش دیده می‌شود. در ادامه نتایج نقشه حرارتی نشان دهنده این بوده است که آستارا از اوایل بهار تا آبان در ساعت‌های زیادی شامل اقلیم گرم و خشک می‌شود و ایستگاه تالش در تابستان بیشتر از ایستگاه‌های دیگر دارای اقلیم مرطوب است. همچنین در ایستگاه انزلی ساعت‌آسایش در کمترین حالت قرار دارد و ساعت‌های زیادی را در طول سال را اقلیم سرد و مرطوب پوشش می‌دهد.

نمی‌تواند پتانسیل تهویه طبیعی این منطقه را چندان افزایش دهد. در مرحله‌ی بعد با توجه نتایج روش CPNV نقشه‌ی حرارتی برای هر کدام از ایستگاه‌های مورد مطالعه ترسیم شد. نتایج بدست آمده نشان داد که در ایستگاه منجیل برخلاف دیگر ایستگاه‌ها شرایط آسایش از پراکندگی در ساعت‌ها و روزهای سال برخوردار است و همچنین کمترین فراوانی مربوط به طبقه گرم و مرطوب در این ایستگاه است. این ایستگاه از اواخر زمستان تا اول تابستان دارای شرایط آسایش است که در تابستان فراوانی هوای گرم بیشتر می‌شود

مدیریت شهری و محیط زیست.

۷. طاهری شیما، گل افشار سها (۱۳۹۵). تهویه طبیعی در ساختمان‌های بلند‌اولین کنفرانس بین‌المللی و سومین کنفرانس ملی معماری و منظر شهری پایدار.
۸. عباسی‌زاده، فرشته، عباسپور، مجید، سلطانیه، محمد، حاج ملا علی کنی، علیرضا. (۱۴۰۰). تغییرات اقلیم و اثرات آن بر مصرف انرژی در ساختمان، فصلنامه علوم و تکنولوژی محیط زیست، انتشار آنلاین.
۹. عسگری، حشمت‌الله، جهانگیری، صفوار. (۱۴۰۰). بررسی علیت مقابل تغییر اقلیم و مصرف انرژی در بخش‌های اصلی اقتصاد ایران با روش تودا-یاماکا تو. مجله‌ی آمایش چگنی‌ایی فضای، شماره پیاپی ۴۲، صفحات ۹۱-۱۰۵.
۱۰. قائدی شهراب. (۱۳۹۷). ارزیابی کاربرد نیروی باد در تهویه طبیعی شهرهای استان فارس. فصلنامه مطالعات عمران شهری، دوره دوم، شماره چهارم، صفحات ۸۸-۹۸.
۱۱. گرجی ملہانی یوسف، یاران علی، پروردی نژاد سمیرا، اسکندری منیژه. (۱۳۹۸). ارزیابی معماری همساز با اقلیم در خانه‌های کاشان. دوره، ۴، شماره، ۷، صفحات ۳۱-۴۰.
۱۲. محمودی مهناز، پورموسی محبوبه. (۱۳۸۹). پتانسیل سنجی انرژی باد و نقش بنیادین آن در تهویه مطبوع و زدودن رطوبت. نشریه آرانشهر (۴)، صفحات ۱۴۷-۱۵۶.
۱۳. وکیلی نژاد رza، مهدی زاده سراج فاطمه، مفیدی شمیرانی سیدمجید. (۱۳۹۲). اصول سامانه‌های سرمایش ایستا در عناصر معماری سنتی ایران. نشریه معماری و شهرسازی ایران دوره-شماره ۵، صفحات ۱۴۷-۱۵۹.

منابع

۱. حسین‌زاده، ریحانه و سلطان‌زاده، حسین. (۱۳۹۲). نقش اقلیم و جریان‌ها در شکل دهی فضای معماری در منطقه معتدل و مرطوب (لنگرود)، دومین همایش ملی اقلیم، ساختمان و بهینه‌سازی مصرف انرژی، اصفهان.
۲. حیدری، شاهین. (۱۳۹۱). برهم کنش جریان‌ها، دما و راحتی در فضاهای باز شهری، مطالعه موردی: اقلیم گرم و خشک ایران. نشریه هنرهای زیبا، شماره ۴۷، صفحات ۴۲-۳۷.
۳. خاکپور، مژگان. (۱۳۸۴). مسکن بومی در جوامع روستایی گیلان، تهران، نشریه هنرهای زیبا، تابستان ۱۳۸۴، شماره ۲۲، صفحات ۶۳-۷۲.
۴. خوش‌سیما شیرین‌سو، فرزانه و تیمورتاش، شبین. (۱۳۹۷). پتانسیل سنجی انرژی باد و نقش آن در تهویه طبیعی نمونه موردی: جزیره هرمز، پنجمین کنفرانس بین‌المللی فناوری و مدیریت انرژی با رویکرد پیوند انرژی، آب و محیط‌زیست، تهران.
۵. سرمدی محمد، یغمائیان کامیارنبی‌زاده، رامین ندافی، کاظم سعیدی، رضا یوسف‌زاده، سمیرا. (۱۳۹۵). بررسی پتانسیل تهویه طبیعی بخش‌های مختلف بیمارستانی در بیمارستان‌های تابعه دانشگاه علوم پزشکی تهران در سال ۱۳۹۳. دوماهنامه سلامت کار ایران، دوره ۱۴۵، شماره ۴، صفحات ۱۵۰-۱۵۸.
۶. شایسته‌نژاد، زینب، حسین‌قدیری مریم. (۱۳۹۸). ارزیابی پتانسیل بالکن‌ها در تهویه طبیعی ساختمان‌های بلند مرتبه. چهارمین کنفرانس بین‌المللی پژوهش‌های نوین در عمران، معماری،

- Singapore. Architectural Science Review, 50(3): 224-233.
20. Orosa jose, A., Costa angel, M., Rodríguez-Fernández, A., and Roshan, Gh.R. (2014). Effect of climate change on outdoor thermal comfort in humid climates. Journal of Environmental Health Science and Engineering, 12(46)
21. Rinaldia, A., Roccotellib, M., Manginib, A., Fanti, M., and Iannone, F. (2017). Natural ventilation for passive cooling by means of optimized control logics, International High-Performance Built Environment Conference –A Sustainable Built Environment Conference, 180: 841-850.
22. Spentzou, E., Cook, M.J., and Emmitt, S. (2019). Modelling natural ventilation for summer thermal comfort in Mediterranean dwellings. International Journal of Ventilation, 18(1): 28-45.
23. Teodosiu, C., Ilie, V., and Teodosiu, R. (2014). Appropriate CFD turbulence model for improving indoor air quality of ventilated spaces, Mathematical Modelling in Civil Engineering,, 10(4): 28-42.
14. ASHRAE (American Society of Heating, Refrigerating and Air-Conditioning).
15. Borgeson, S. and Brager, G. (2011). "Comfort standards and variations in exceedance."
16. Causone, F. (2016). Climatic potential for natural ventilation. Architectural Science Review, 59(3): 212-228.
17. Chen Y., Tong, Z., and Malkawi A. (2017). "Investigating natural ventilation potentials across the globe: Regional and climatic variations." Building and Environment, 122, Pp. 386–396.
18. Kardinal Jusef, S.M., IGNATIUS, and Hien, W.N. (2016). Urban climatic mapping using prediction models for ambient temperature and outdoor thermal comfort: a Singapore Case Study. 4th International Conference on Countermeasures to Urban Heat Island, 3031. May and 1 June 2016, National University of Singapore, Singapore.
19. Liping W., and Nyuk hien W. (2007). Applying Natural Ventilation for Thermal Comfort in Residential Buildings in

